

- [11] J. Laforest et al., *I. E. E. Trans. Mag.*, 9 (1973), 217.
[12] N. Niimura et al., *J. Phys. Soc. Japan*, 35-2 (1973), 628.
[13] A. Yoshimori, *J. Phys. Soc. Japan*, 14-6(1959), 807.
[14] 星埜祐男等, 日本物理学会誌, 18-3(1963), 122.
[15] S. K. Burke et al., *J. Appl. Cryst.*, 11-5(1978), 644—657.

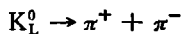
中子电偶极矩

刘圣康 林进福

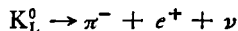
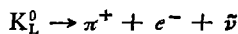
(南京大学)

中子是一种基本粒子。从1932年发现中子以来,对中子的基本性质已进行了大量的研究。近来,由于高通量反应堆及其他强中子源的出现,冷中子技术的发展,使得对中子基本性质的研究进一步深入。例如,超冷中子贮存技术的成功,为实验测量中子电偶极矩提供了特别有利的条件。

从1956年李政道和杨振宁发现在弱相互作用下宇称不守恒以后,朗道等人又提出了宇称(*P*)、电荷(*C*)的联合守恒定理(即*CP*守恒),从而保证了宇称、电荷和时间(*T*)的联合守恒(*CPT*守恒)。可是1964年克利斯坦森等所作的精密实验表明:当寿命约为 10^{-8} sec的中性*K_L⁰*介子衰变成为两个π介子时,



发现*CP*不守恒现象。到目前为止,还在*K_L⁰*的另外两个衰变过程中



发现*CP*不守恒现象(式中*e⁺*, *e⁻*为正、负电子, *ν*为中微子, *ν̄*为反中微子)。

虽然曾在一系列其他过程中寻找*CP*不守恒现象,但在目前实验所能达到的精度范围内,还没有发现其他*CP*不守恒的例子。

根据*CPT*定理,如果*CP*不守恒,*T*必然不守恒。如果能够利用中子实验来检验*T*是不守恒的,那是很有意义的。

如果中子有电偶极矩,那么电偶极矩 \mathbf{d} 和中子自旋 \mathbf{s} 的方向是相同的,并且有正比关系^[1]:

$$\mathbf{d} = \alpha \mathbf{s}, \quad (1)$$

式中 α 为常数。如果中子处在静电场 \mathbf{E} 中,那么中子电偶极矩 \mathbf{d} 与电场 \mathbf{E} 的相互作用能为

$$\mathbf{d} \cdot \mathbf{E} = \alpha \mathbf{s} \cdot \mathbf{E}. \quad (2)$$

在时间反演变换下,

$$T\mathbf{d} = \mathbf{d},$$

$$T\mathbf{E} = \mathbf{E},$$

$$Ts = -s,$$

所以

$$Td \cdot E = d \cdot E,$$

$$Ts \cdot E = -s \cdot E.$$

因此,在时间反演变换下,要使(2)式成立,除非 $\alpha = 0$ 。也就是说,如果 *T* 守恒,必须是 $d = 0$ 。如果 $d \neq 0$,则证明 *T* 是不守恒的。所以,通过实验测量中子电偶极矩值可以检验时间反演守恒定理是否破坏。

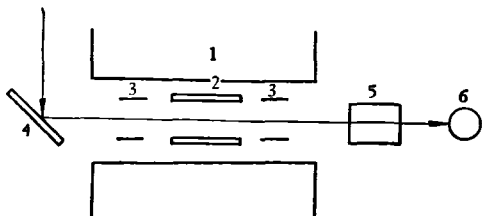


图1 测量中子电偶极矩的实验装置示意图

1——建立恒定磁场 H 的磁铁; 2——建立静电场 E 的电极; 3——建立高频 ν ; 磁场的高频线圈;
4——镜面极化镜; 5——分析器; 6——中子探测器

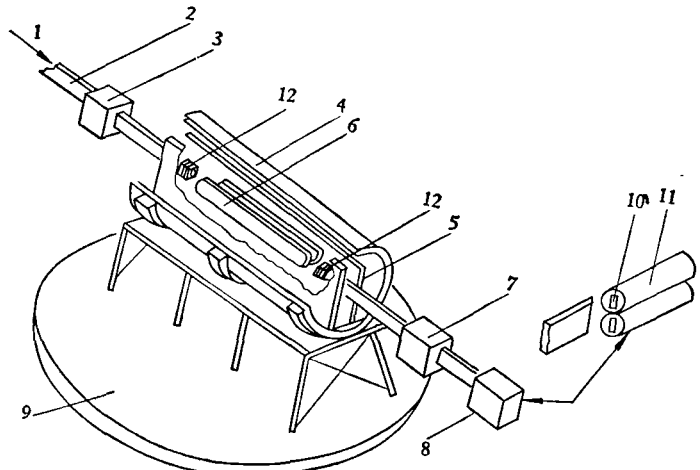


图 2 中子电偶极矩的测量装置

1—中子束；2—导管；3—极化磁镜；4—双层磁防护层，各层厚 2.5mm；5—产生恒定磁场的电极板；6—静电场的电极板；7—分析器；8—探测器；9—转盘；10—闪烁探测器窗口；11—光电倍增管；12—产生高频磁场的振荡线圈

通过实验测量中子电偶极矩值已有二十多年的历史。除了个别实验采用中子在 CdS 单晶上衍射的方法测量中子电偶极矩^[2]以外，都用核磁共振法测量中子电偶极矩值。

1956 年史密斯等人^[3]利用热中子（速度约为 2200m/sec）测量中子电偶极矩值，其方法是在测量中子磁矩方法的基础上发展的，即在恒定磁场 \mathbf{H} 上加上一个方向相同或相反的静电场 \mathbf{E} 。图 1 是实验装置示意图，其中高频磁场方向与恒定磁场方向相互垂直。

原来在测量中子磁矩 μ 时利用核磁共振条件：

$$\hbar\nu_1 = 2\mu \cdot \mathbf{H},$$

其中 ν_1 是共振频率， \hbar 是普朗克常数， \mathbf{H} 是恒定磁场。现在加上了静电场 \mathbf{E} 。如果中子存在电偶极矩 \mathbf{d} ，则共振条件有所改变。当静电场 \mathbf{E} 与恒定磁场 \mathbf{H} 方向相同时，

$$\hbar\nu_{\text{H}} = 2[\mu \cdot \mathbf{H} + \mathbf{d} \cdot \mathbf{E}_{\text{H}}], \quad (3)$$

式中 ν_{H} 和 \mathbf{E}_{H} 表示静电场与恒定磁场方向相同时的共振频率和静电场。当 \mathbf{E} 与 \mathbf{H} 方向相同时，

$$\hbar\nu_{\text{H}} = 2[\mu \cdot \mathbf{H} - \mathbf{d} \cdot \mathbf{E}_{\text{H}}], \quad (4)$$

式中 ν_{H} 和 \mathbf{E}_{H} 表示静电场与恒定磁场方向相同时的共振频率和静电场。

由(3)和(4)式可得

$$d = \frac{\hbar\Delta\nu}{2(E_{\text{H}} + E_{\text{H}})},$$

其中 $\Delta\nu = \nu_{\text{H}} - \nu_{\text{H}}$ 。

因此，实验测量共振频率差 $\Delta\nu$ 就可以确定中子电偶极矩值 d 。由于实验精度差，当时确定的 d 值上限为 $5 \times 10^{-20} \text{ ecm}$ ， e 为电子电荷。

从根本上来说，这类实验的精度受到两个方面的限制：其一，测不准原理 $\Delta E \Delta t \sim \hbar$ 。为了提高能量分辨率（即减小 ΔE ）必须增大 Δt ，即必须增加中子在测量仪器中的停留时间。其二，所谓“ $v \times E$ ”效应^[4]。为了减小它的影响，必须减小中子的平均速度

v 。因此改用比热中子慢得多的冷中子来测量电偶极矩。

1967 年密勒改用速度为 90m/sec 的冷中子测量中子电偶极矩^[5]。他的核磁共振装置中磁场为 10G，静电场为 120kV/cm。测量结果， $d < 3 \times 10^{-22} \text{ ecm}$ 。在 1974 年以前，用冷中子测量电偶极矩的结果以德雷斯等^[6]取得的结果为最好， $d < 10^{-23} \text{ ecm}$ 。这与李政道在 1974 年所发表的理论值^[7]相符。1976 年德雷斯等在法国劳厄-朗芝万研究所的 ILL 高通量反应堆上采用冉赛（Ramsey）分裂线圈磁共振技术进行测量。他们所用中子的速度为 100m/sec，通过 2m 距离的时间约为 0.02sec。测量结果， $d = (0.4 \pm 1.1) \times 10^{-24} \text{ ecm}$ ^[8]。1977 年，德雷斯和密勒采用图 2 所示的装置重新进行了测量^[9]，结果 $d = (0.4 \pm 1.5) \times 10^{-24} \text{ ecm}$ ，并且他们确定了 d 的上限为 $3 \times 10^{-24} \text{ ecm}$ 。

现在超冷中子已经可以贮存。用瓶装中子测量电偶极矩，不仅增大了测量时间，而且由于中子在瓶内多次反射的穿行速度 v 接近于零，可以基本消除 “ $v \times E$ ” 效应。因此，测量精度应该大为提高。

列宁格勒核物理研究所在 BBP-M 堆上测

量中子电偶极矩的装置如图3所示^[10]。超冷中子贮存瓶为一个圆柱体，直径为50cm，高度为6cm，中子在其中停留约为1.5sec。图4为他们初步测量的核磁共振曲线，共振宽度为0.25Hz。他们积累了一个月的计数，确定中子电偶极矩值为 $(0.8 \pm 2.6) \times 10^{-24} e\text{cm}$ ，并且认为电偶极矩值的上限为 $d < 10^{-24} e\text{cm}$ ^[8]。

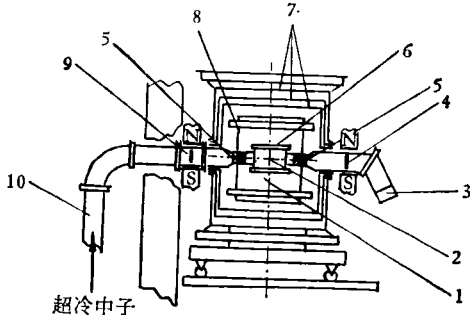


图3 在BBP-M堆上的测量装置

1. 真空室；2. 涂BeO的玻璃圆柱体；3. 氦-3探测器；4. 极化分析器；5. 第二振荡线圈；6. 高压电极；7. 三层磁屏蔽；8. 亥姆霍兹线圈；9. 极化器；10. 导管

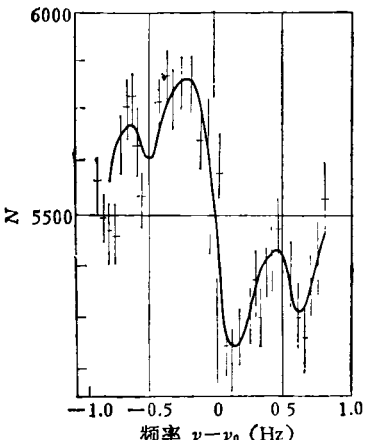


图4 超冷中子的核磁共振曲线 $\nu_0 = 312.5 \text{ Hz}$

从第一个寻找中子电偶极矩的实验算起，已经过去了二十多年了。虽然还没有给出一个公认的中子电偶极矩的确定值，但是它的上限值已经降低了差不多五个数量级。

在理论上，曾经提出了计算中子电偶极矩的几种模型，讨论了可能主宰时间不变性破坏的相互作用，并且估计了中子电偶极矩的数量级。表1为理论预期的中子电偶极矩值。

由表1可见，中子电偶极矩的大多数理论预期值为 10^{-23} — $10^{-24} e\text{cm}$ ，而实验测量结果约为 $10^{-24} e\text{cm}$ 。但是由于测量值与误差是同一个

表1 各种理论模型预期的中子电偶极矩值

作者及年分	中子电偶极矩值 $e\text{cm}$	参考文献
G. Feinberg (1965)	10^{-19}	[11]
G. Salzman et al. (1965)	10^{-20}	[12]
N. T. Meister et al. (1964)	2×10^{-21}	[13]
P. Babu et al. (1967)	2.2×10^{-22}	[14]
J. Schwinger (1964)	$(0.36-1.4) \times 10^{-22}$	[5, 15]
D. G. Boulware (1965)	10^{-27}	[16]
李政道 (1973)	10^{-23}	[7]
R. N. Mohapatra (1973)	10^{-24}	[7]
A. Pais (1973)	10^{-23}	[7]
J. Frenkel et al. (1973)	10^{-29}	[7]

数量级，所以不能确切地说中子电偶极矩有多大。

在BBP-M堆上用超冷中子测量的电偶极矩，得到的精度不够理想。因为超冷中子在物质瓶中贮存时间比理论估计的时间短得多，它影响电偶极矩的测量结果。斯特列尔科夫等^[17]认为超冷中子的热化可能是物质瓶贮存时间异常短的主要原因。科斯维恩采夫等^[18]对金属瓶中超冷中子异常失漏过程又进行了深入的研究。估计不久可以克服异常失漏的困难。那时可以期望测得更为精确的中子电偶极矩值。

参 考 文 献

- [1] И. И. Туревит, А. В. Тарасов, Физика Нейтронов Низких Энергий, Изд. Наука, (1965), 303.
- [2] C. G. Shull, R. Nathans, *Phys. Rev. Lett.*, **19** (1967), 384.
- [3] J. H. Smith, E. M. Purcell, N. F. Ramsey, *Phys. Rev.*, **108** (1957), 120.
- [4] R. Golub et al., *Contemp. Phys.*, **13** (1972), 519.
- [5] П. Миллер, УФН., **95**(1968), 470.
- [6] W. B. Dress, P. D. Miller, *Phys. Rev. D*, **7** (1973), 3147.
- [7] L. Wolfenstein, *Nucl. Phys. B*, **77** (1974), 375.
- [8] A. Steyerl, Springer Tracts in Modern Physics, Springer-Verlag, **80** (1977), 119.
- [9] W. B. Dress, P. D. Miller, *Phys. Rev. D*, **15** (1977), 9.
- [10] А. И. Егоров, и др., Ядерная Физика, **21**(1975), 292.
- [11] G. Feinberg, *Phys. Rev.*, **140-5B** (1965), 1402.
- [12] G. Salzman et al., *Phys. Lett.*, **15** (1965), 91.
- [13] N. T. Meister et al., *Phys. Rev.*, **315-3B** (1964), 769.
- [14] P. Babu et al., *Phys. Rev.*, **162** (1967), 1359.
- [15] I. Schwinger, *Phys. Rev.*, **136-6B** (1964), 1821.
- [16] D. G. Boulware, *Nuovo Cimento*, **A40-4** (1965),

1041.
[17] A. V. Стрелков, M. Хетцельт, ЖЭТФ, 74(1978),
23.

- [18] Ю. Ю. Косвинцев и др., Письма в ЖЭТФ, 28–
3(1978), 164.

外逸电子效应及其应用

邹齐寰 朱希恺

(中国科学院上海原子核研究所)

外逸电子发射 (exoelectron emission) 是一种新的电子发射形式, 简记为 EEE。它的发射机制不同于热电子发射、光电子发射、场致发射和二次电子发射等。外逸电子是指固体表面由于受到某些外界作用 (如电离辐射、机械作用) 或本身的物理化学变化 (如凝固、吸附) 而发射出的低能电子。早在本世纪二十年代人们就已经知道, 当无机物受到化学作用时表面会发出低能电子。后来又发现, 盖革计数管在刚制成或电极重新加工后, 本底有异常现象。甚至铜、铝等金属的新鲜加工表面都会出现电子脉冲。但直到 1949 年, 这类现象才由西德克拉默尔 (Kramer) 加以系统研究。故此种电子发射效应又称克拉默尔效应。此后又有不少人进行过这方面的探讨, 但由于此现象机制较复杂, 影响因素又多, 因此进展不快。近年来, 随着实验技术的改进, 以及表面物理研究的发展, 特别是该效应在实际应用方面取得初步的效果, 因此它又成为人们注意的一项课题。目前一些国家已开展了这方面的研究工作, 如美、苏、日、西德等。有关的国际交流会议先后召开过五次之多。

一、现象的介绍

当固体表面受外界作用或本身发生物理化学变化时, 会发射出外逸电子。这个过程称为“激励”过程 (excitation)。激励过程有好几种形式。例如, 某些无机离子晶体 (金属氧化物, 卤化物等) 及半导体受到 X 光, α , β , γ 等射线和紫外线照射; 某些金属 (如铜、铝等) 在含氧气氛内受到机械作用 (切削、研磨、粉碎、塑性变形); 某些金属或合金发生凝固、吸附氧气、氧化或催化反应等物理化学变化。实验表明, 对于上述情况, 当激励的因素消失以后, 固体表面外逸电子的发射仍可持续一段时间, 其发射强度随时间而衰减, 可近似表示如下:

$$I = I_0 t^{-n} \quad (n \approx 1),$$

式中 I_0 为初始发射强度。此过程可经历几分钟到几天的时间。

物理

当上述衰减过程结束后, 如果对该样品加热或光照, 则发现又有低能电子发射出来。应该注意, 这时加热的温度远低于热电子发射的温度, 而光幅照用的入射光波长也大于常规光电效应所对应的波长。因此, 它不是一般的热电子发射或光电子发射。我们称这种电子发射过程为外逸电子的“激发”过程 (stimulation)。由于对样品加热而引起外逸电子激发的过程, 称为热激发外逸电子发射 (简记为 TSEE), 而由于对样品光幅照而引起外逸电子激发的过程, 称为光激发外逸电子发射 (简记为 OSSE)。有的作者对激励过程和激发过程不作细致的区分, 而将两过程统称为外逸电子发射过程。

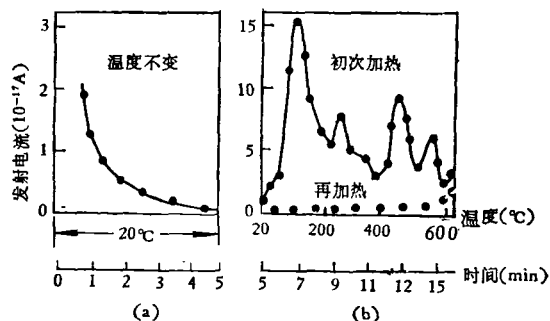


图 1 钨丝被电子轰击后的 TSEE 曲线

研究固体的 TSEE 曲线, 可以看出外逸电子的发射率与固体表面温度有密切关系。发射率-温度曲线上存在峰值。各种材料的峰值所对应的特征温度 (T_{\max}) 不同。图 1 为钨丝经电子轰击后, 按一定升温速率加热所得的电子发射率与温度的关系曲线。第一次加热时出现几个特征峰值, 待再次加热时各峰均消失。固体的 TSEE 曲线反映了固体的固有特性和外界因素的作用, 并随测试条件 (如升温方式) 而变化。

研究固体的 OSSE 曲线, 可以看出外逸电子的发射率与入射光波长 (光子能量) 有关。对有些固体, OSSE 曲线存在峰值, 而对另一些固体, OSSE 曲线不存在明显的峰值。前者称为选择性 OSSE, 后者称为非选择性 OSSE。图 2 表示铝经过研磨后的 OSSE 曲线。